

EA722
Laboratório de Princípios de Controle e
Servomecanismos

Universidade Estadual de Campinas - Faculdade de Engenharia Elétrica e de
Computação
Prof. Marconi Kolm Madrid

Experimento 3
Controle PD e P&D dos sistemas ECP

Equipamento utilizado: Sistema Torcional

Turma D

Participantes:

Nicolas Pereira da silva (RA:247298)

Pedro Nicolás Sampaio Gomes (RA: 247333)

Vinícius Esperança Mantovani (RA: 247395)

Motivação

Este experimento tem como objetivo estudar o comportamento de um sistema de controle utilizando um controlador proporcional-derivativo (PD), aplicando os conceitos a um sistema de segunda ordem hipotético. A análise é focada em como o controlador PD pode melhorar o desempenho do sistema em malha fechada, reduzindo overshoot e oscilações, em comparação com o controle apenas proporcional. Controladores PD são amplamente utilizados em aplicações práticas, como o controle de máquinas-ferramentas e sistemas aeroespaciais, devido à sua capacidade de antecipar tendências do erro e, assim, ajustar a ação de controle para melhorar a resposta do sistema. Este estudo também visa comparar os resultados teóricos calculados em relatórios anteriores com os valores experimentais obtidos, validando a eficácia do controle PD em diferentes cenários.

Introdução

Sistemas de controle em malha fechada desempenham um papel central em diversas áreas de engenharia, especialmente naqueles que exigem precisão e estabilidade. O controlador proporcional-derivativo (PD), que adiciona uma ação derivativa ao controle proporcional tradicional, tem como principal função melhorar o amortecimento do sistema, reduzindo o overshoot e as oscilações. Trabalhos anteriores mostraram que, ao aplicar apenas o controle proporcional, o sistema exibe altos valores de overshoot e instabilidade temporária, como ilustrado na Figura 1. Este relatório se baseia nesses resultados teóricos e se propõe a verificar experimentalmente os efeitos da introdução de um termo derivativo no controle, validando sua capacidade de melhorar a resposta do sistema no tempo. Por meio dessa abordagem, é possível observar a contribuição do termo derivativo na antecipação do comportamento do erro, tornando o sistema mais estável e eficiente.

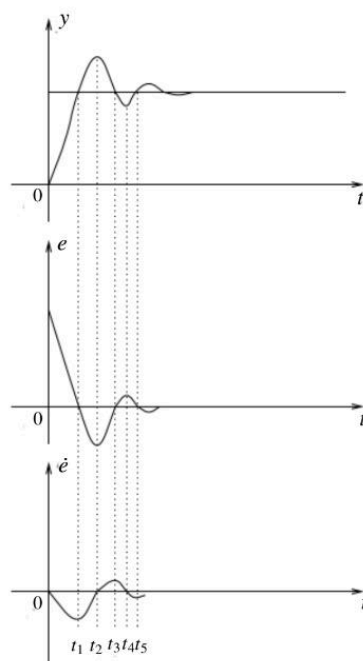


Figura 1: Análise das ações proporcional e derivativa.

Itens Propostos

Exercício 1:

Conforme desejado, foi provado, na figura 2 que a função de transferência do sistema é equivalente à apresentada abaixo.

$$\frac{Y(s)}{R(s)} = \frac{K_d c_0 s + K_p c_0}{s^2 + (c_1 + k_d c_0) s + K_p c_0}$$

Handwritten derivation of the transfer function for Exercise 1. The derivation starts with the equation $Y(s) = (K_p + K_d s) \left(\frac{C_0}{s(s + c_1)} \right) (R - Y)$. This is rearranged to $\frac{Y(s)}{R(s)} = \frac{(K_p + K_d s) \left(\frac{C_0}{s(s + c_1)} \right)}{1 + (K_p + K_d s) \left(\frac{C_0}{s(s + c_1)} \right)}$. The final result, circled, is $\frac{Y(s)}{R(s)} = \frac{K_p C_0 + K_d C_0 s}{s^2 + (c_1 + K_d C_0) s + K_p C_0}$.

Figura 2: Demonstração exercício 1

Exercício 2:

Em sequência, neste exercício, foi feito um processo também de demonstração, no entanto, agora a respeito do valor de y com o tempo tendendo a infinito, conforme requisitado:

Handwritten derivation of the steady-state value for Exercise 2. The derivation starts with $Y(\infty) = \lim_{s \rightarrow 0} s \left(\frac{1}{s} \cdot \frac{K_p C_0 + K_d C_0 s}{s^2 + (c_1 + K_d C_0) s + K_p C_0} \right)$. The final result, circled, is $Y(\infty) = 1$.

Figura 3: Demonstração exercício 2

Exercício 3:

Em continuidade, foi demonstrada, novamente, a igualdade da função de transferência de um sistema em moldes distintos aos do anterior e, obteve-se a demonstração abaixo:

$$\frac{Y(s)}{R(s)} = \frac{K_p c_0}{s^2 + (c_1 + k_d c_0)s + K_p c_0}$$

Handwritten derivation for Exercise 3:

$$Y = G_p (K_p (R - Y) - K_d s Y) \rightarrow Y = G_p (K_p R - K_p Y - K_d s Y)$$
$$\rightarrow Y = \frac{G_p K_p}{1 + G_p (K_p + K_d s)} = \frac{\frac{C_0}{s(s+c_1)} K_p}{1 + \frac{C_0}{s(s+c_1)} (K_p + K_d s)} =$$
$$\frac{Y(s)}{R(s)} = \frac{C_0 K_p}{s(s+c_1) + C_0 (K_p + K_d s)} = \frac{C_0 K_p}{s^2 + (c_1 + C_0 K_d)s + C_0 K_p}$$

Figura 3: Demonstração exercício 3

Exercício 4:

Prosseguindo, foi demonstrada a função de transferência do sistema rotacional dentro dos conformes requisitados:

$$\frac{\Theta_1(s)}{R(s)} = \frac{k_{hw} K_p / J_1}{s^2 + [(c_1 + k_{hw} K_d)s + k_{hw} K_p] / J_1}$$

Handwritten derivation for Exercise 4:

$$\Theta_1(s) = \frac{K_{hw}}{J_1 s^2 + C_1 s} (K_p (R - \Theta_1) - K_d s \Theta_1) =$$
$$\frac{K_{hw}}{J_1 s^2 + C_1 s} (K_p R - K_p \Theta_1 - K_p K_d s \Theta_1) \rightarrow \frac{\Theta_1}{R} = \frac{\frac{K_{hw} K_p}{J_1 s^2 + C_1 s}}{1 + \frac{K_{hw}}{J_1 s^2 + C_1 s} (K_p + K_p K_d s)}$$
$$\frac{\Theta_1(s)}{R(s)} = \frac{K_{hw} K_p}{J_1 s^2 + C_1 s + K_{hw} K_p + K_{hw} K_d s} = \frac{K_{hw} K_p}{J_1 s^2 + (C_1 + K_{hw} K_d)s + K_{hw} K_p}$$
$$\rightarrow \frac{\Theta_1(s)}{R(s)} = \frac{K_{hw} K_p / J_1}{s^2 + \frac{(C_1 + K_{hw} K_d)s + K_{hw} K_p}{J_1}}$$

Figura 4: Demonstração exercício 4

4.1.1 Procedimento experimental - parte 1

Itens 1 a 5)

Durante a experiência em sala, foram feitos ajustes para que o sistema torcional funcionasse de acordo com o enunciado. Para fazer isso corretamente, como orientado pelo item 2, foi necessário calcular o coeficiente de ganho proporcional K_p para um oscilador mola-inércia de frequência 2 Hz de acordo com a seguinte fórmula:

$$\omega_n = \sqrt{\frac{k_{kw} K_p}{J_1}} [rd/s] \quad (1)$$

Considerando que estamos realizando o cálculo em função da frequência angular ω_n , que é dada por radianos por segundo, a frequência de 2 Hz significa uma frequência angular $\omega_n = 2 * 2\pi$ rad/s. Considerando os valores de k_{hw} e J_1 utilizados nos experimentos anteriores ($k_{hw} = 17.57$ e $J_1 = 0.010786$) e resolvendo a equação, tiramos que $K_p \approx 0.097$.

Item 6)

Neste item, foi-nos pedido para determinar a frequência de oscilação exibida pelo sistema com o valor de K_p estipulado ($K_p = 0.097$) e, em seguida, com o K_p dobrado ($K_p = 0.194$). Os gráficos obtidos a partir dessas configurações estão exibidos logo abaixo:

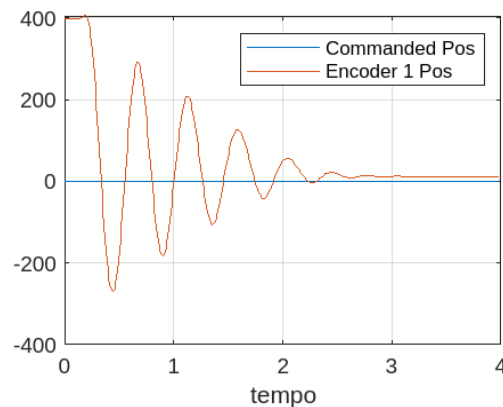


Figura 5: Gráfico de posição do disco 1 em função do tempo para $K_p = 0.097$

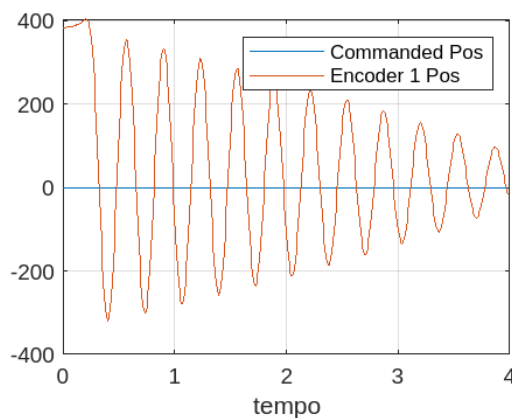


Figura 6: Gráfico de posição do disco 1 em função do tempo para $K_p = 2*0.097$

Observando os gráficos, é possível ver que, com o aumento do ganho potencial, a frequência de oscilação do sinal de saída se apresenta superior em relação ao sinal de saída do ganho K_p inferior. Isso era esperado teoricamente: já que a relação entre a frequência de oscilação é dada pela fórmula em (1), vemos que, se K_p cresce, então ω_n também cresce. No nosso caso, como dobramos K_p , multiplicamos o valor de ω_n em $\sqrt{2}$, em relação com o valor inicial de K_p . Desse modo, a frequência do sinal, para $K_p = 0.097$ é de, aproximadamente, 2 Hz, enquanto que, para $K_p = 0.194$, ω_n terá valor próximo a $2*\sqrt{2} \approx 2.83$ Hz.

Item 7)

É solicitado que calculemos o ganho K_d a partir do K_p encontrado anteriormente para que o amortecimento seja nulo, utilizando a fórmula abaixo

$$\xi := \frac{c_1 + k_{hw} K_d}{2 J_1 \omega_n} = \frac{c_1 + k_{hw} K_d}{2 \sqrt{J_1 k_{hw} K_p}} \quad (2)$$

Substituindo os valores obtidos previamente na expressão destacada, incluindo os que foram calculados em experimentos anteriores para o sistema torcional, encontramos que $K_d \cong -0.0004$. Como podemos notar, o coeficiente de ganho diferencial encontrado é negativo, algo dificilmente obtido em um sistema real de controle, pois essa condição é propícia para a geração de instabilidades, sendo necessária “contê-la” por causa desse possível efeito. Tal efeito não é obtido na nossa situação, pelo baixo valor em módulo de K_d , e pelo fato de que o ganho proporcional positivo “domina” o ganho diferencial negativo.

A partir desses valores, foi traçado o seguinte gráfico a partir do resultado obtido a partir da máquina torcional:

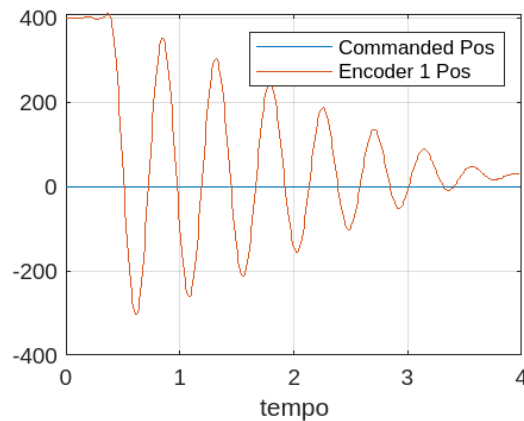


Figura 7: Gráfico de posição do disco 1 em função do tempo para $K_d = -0.0004$ (amortecimento nulo).

Como era esperado, a configuração calculada faz com que o amortecimento seja, virtualmente, nulo. Desse modo, temos uma taxa de oscilação elevada, já que o valor zero do coeficiente de amortecimento faz com que a redução da amplitude aconteça de forma mais devagar ao longo do tempo, com a taxa de oscilação sendo reduzida apenas pela influência dos ganhos proporcional e derivativo do sistema, além de efeitos da viscosidade sobre o mesmo.

Item 8)

Neste item, foi feito o cálculo do valor de K_d para $K_d * k_{hw} = 0.10$. Com isso, encontrou-se $K_d = 0.00569$, considerando o já conhecido valor de $k_{hw} = 17.57$.

Item 9)

Seguindo para este item, pode-se destacar que o aumento notado em relação à resistência do disco a rotações percebido ao movimentá-lo manualmente decorre do crescimento do coeficiente de amortecimento do sistema: como vimos anteriormente, a partir da expressão destaca em (2), o coeficiente de amortecimento ξ é proporcional ao valor de K_d . Quando configuramos K_d como sendo 0.00569 no último item, mantendo o resto dos valores mantidos anteriormente, temos um coeficiente de amortecimento de, aproximadamente, 0.4. Isso gera uma resistência maior contra o movimento do disco, se opondo, especialmente, a mudanças mais rápidas em termos de rotação.

Item 10)

Seguindo a mesma lógica do item anterior, foi possível perceber um aumento, sim, na resistência do disco em relação ao movimento rotativo aplicado sobre ele manualmente, uma vez que aumentar o coeficiente derivativo K_d em 5 vezes produz aumento significativo no coeficiente de amortecimento do sistema, pelas razões já citadas.

4.1.2 Procedimento experimental - parte 2

Item 11)

No presente item, solicita-se, a partir de (1) e (2), a obtenção dos coeficientes K_p e K_d , considerando a frequência de oscilação $\omega_n = 4\pi$. Mantendo os outros valores, já obtidos anteriormente, a partir da equação (1), verificamos que $K_p \cong 0.097$. Utilizando esse valor na equação (2), realizamos algumas contas 3 vezes para determinar os coeficientes K_d para cada um dos coeficientes de amortecimento que foram determinados no enunciado. Para $\xi = 0.2$ (sistema sub-amortecido), temos $K_d = 0.002654$. Quando $\xi = 1.0$ (sistema criticamente amortecido), encontramos $K_d = 0.015$. Finalmente, quando determinados $\xi = 2.0$ (sistema sobre-amortecido), obtemos que $K_d = 0.03$.

Item 13 e 14)

Executando o experimento com os dados adquiridos do item 11, tem-se o que se encontra abaixo.

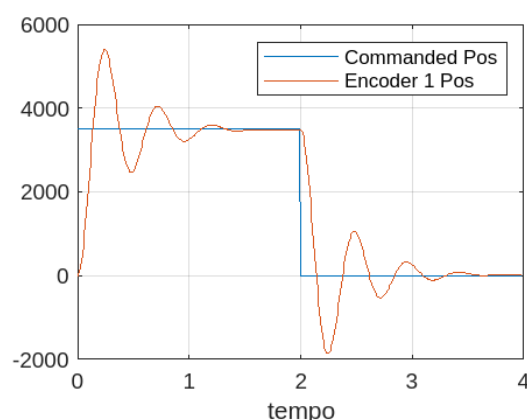


Figura 8: Gráfico de posição do disco 1 em função do tempo para o sistema subamortecido.

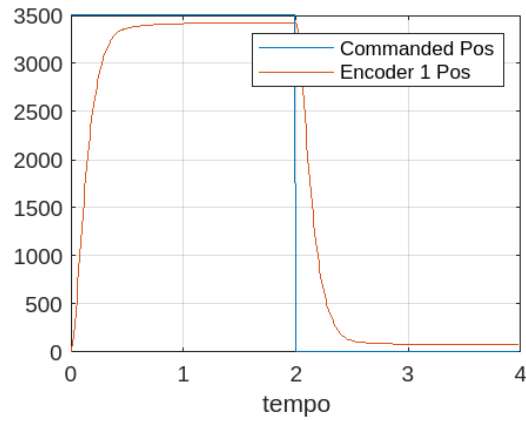


Figura 9: Gráfico de posição do disco 1 em função do tempo para o sistema criticamente amortecido.

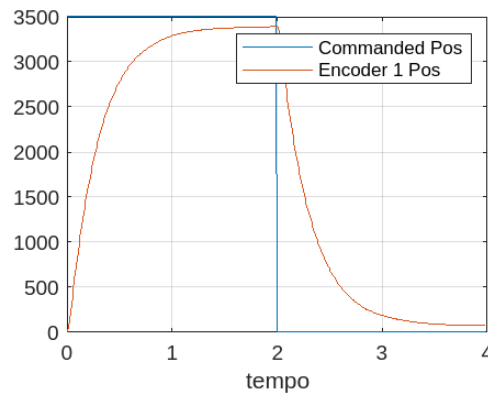


Figura 10: Gráfico de posição do disco 1 em função do tempo para o sistema sobre-amortecimento.

Item 15)

Neste item, buscou-se projetar um controlador com valores distintos de MP, que variaram nos valores de 10, 15 e 20. Com isso, foi obtido o que se segue:

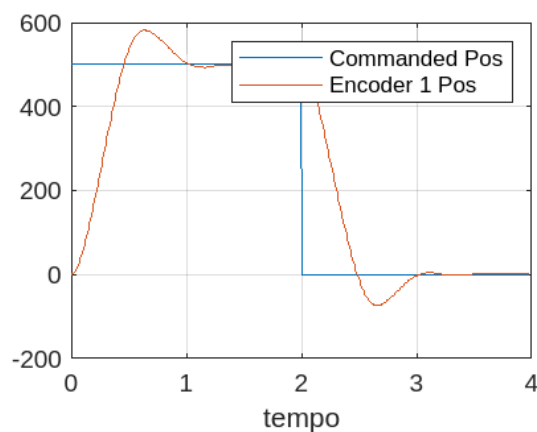


Figura 11: Gráfico de posição do disco 1 em função do tempo para o sistema com controle projetado, $M_p = 10$. Para esse e os gráficos seguinte, os valores máximos de contagem inicial foram reduzidos para cerca de 500 contagens, uma vez que o sistema estava desarmando para valores superiores a esse durante a execução dos experimentos.

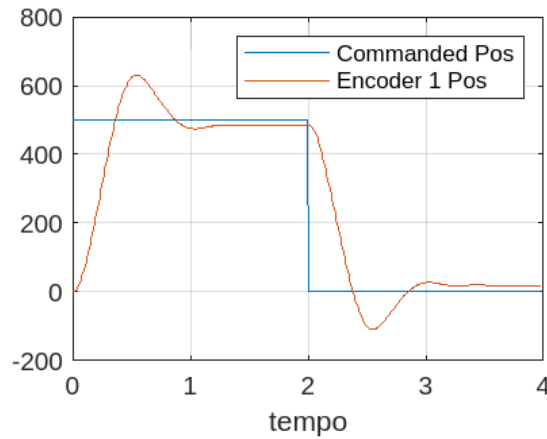


Figura 12: Gráfico de posição do disco 1, com o sistema com controle projetado, $M_p = 15$.

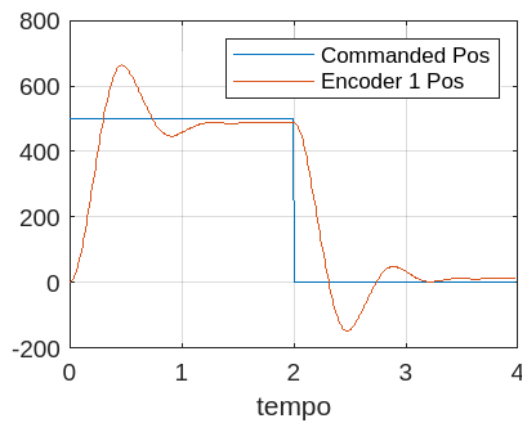


Figura 13: Gráfico de posição do disco 1 para o sistema com controle projetado, $M_p = 20$.

Destes gráficos, pode-se imaginar que a melhor solução é a que envolve $M_p = 10$, pois, embora sua resposta demore uma quantia irrisória de tempo a mais para convergir para o valor desejado, o overshooting neste caso é mais baixo e, o erro de regime é menor que nos demais casos. Porém, vale ressaltar que, usando-se as fórmulas apresentadas abaixo, é possível construir um controlador bastante satisfatório para a situação.

$$M_p = \exp\left(\frac{-\xi \pi}{\sqrt{1 - \xi^2}}\right) \times 100 \text{ (em \%)},$$

$$t_s = \frac{3}{\xi \omega_n} \text{ (critério de 5\%)},$$

Conclusão

Por fim, pode-se destacar que foi possível satisfazer os objetivos propostos. Isso porque, conseguiu-se analisar o sistema com controlador derivativo e proporcional com parâmetros sendo variados para estudo aprofundado. Com isso, pôde-se observar o efeito do uso da velocidade para controle do sistema, de modo que isso permitiu uma melhoria nas respostas, que foram mais coerentes com as posições comandadas.